

Webinaire TSMR – CFBR Transport sédimentaire : rivières et barrages réservoirs



Session 5: Diagnostic et restauration

Etude des réinjections sédimentaires dans les rivières à graviers par modélisation numérique morphodynamique 2d

Guillaume BROUSSE

Magali JODEAU

Nicolas CLAUDE

Florian CORDIER

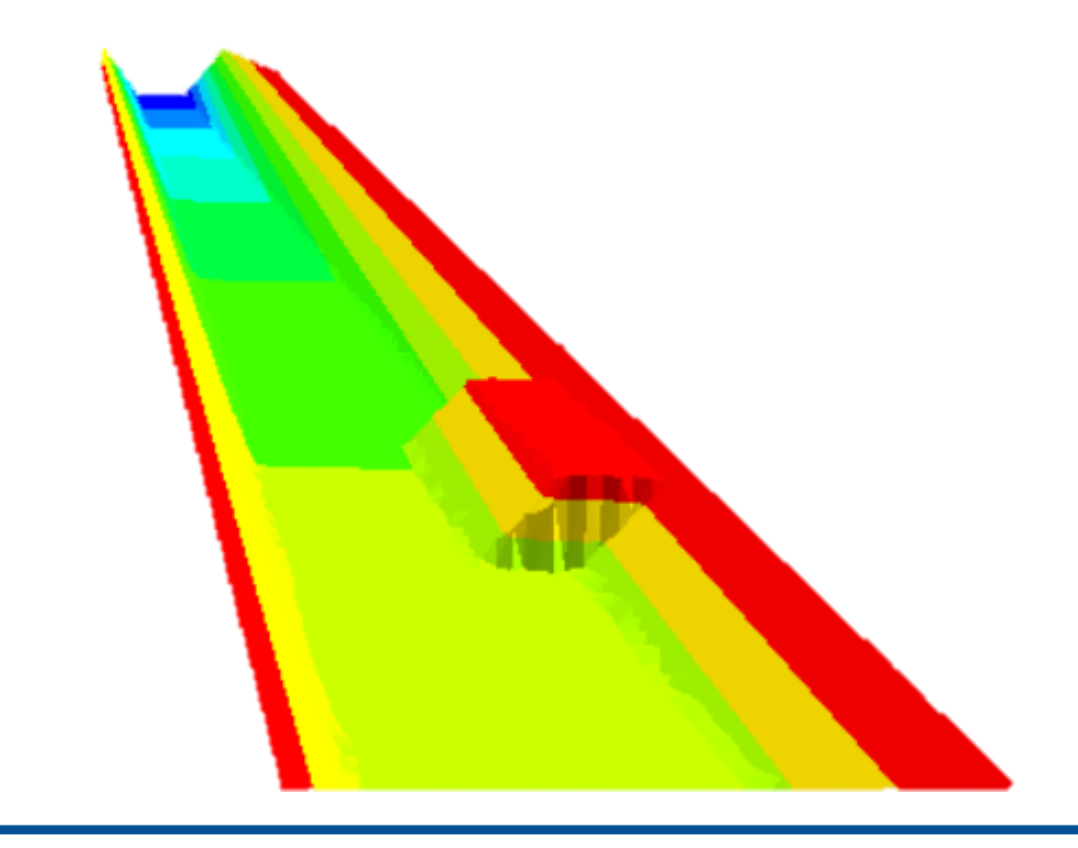
Jonas DURAND-GASSELIN

Mário J. FRANCA

Carmelo JUEZ







Contexte et objectifs

La réinjection sédimentaire en aval des barrages

- ✓ Limite la perte de capacité des réservoirs
- ✓ Réduction du risque d'inondation en amont
- ✓ Restauration des milieux en aval

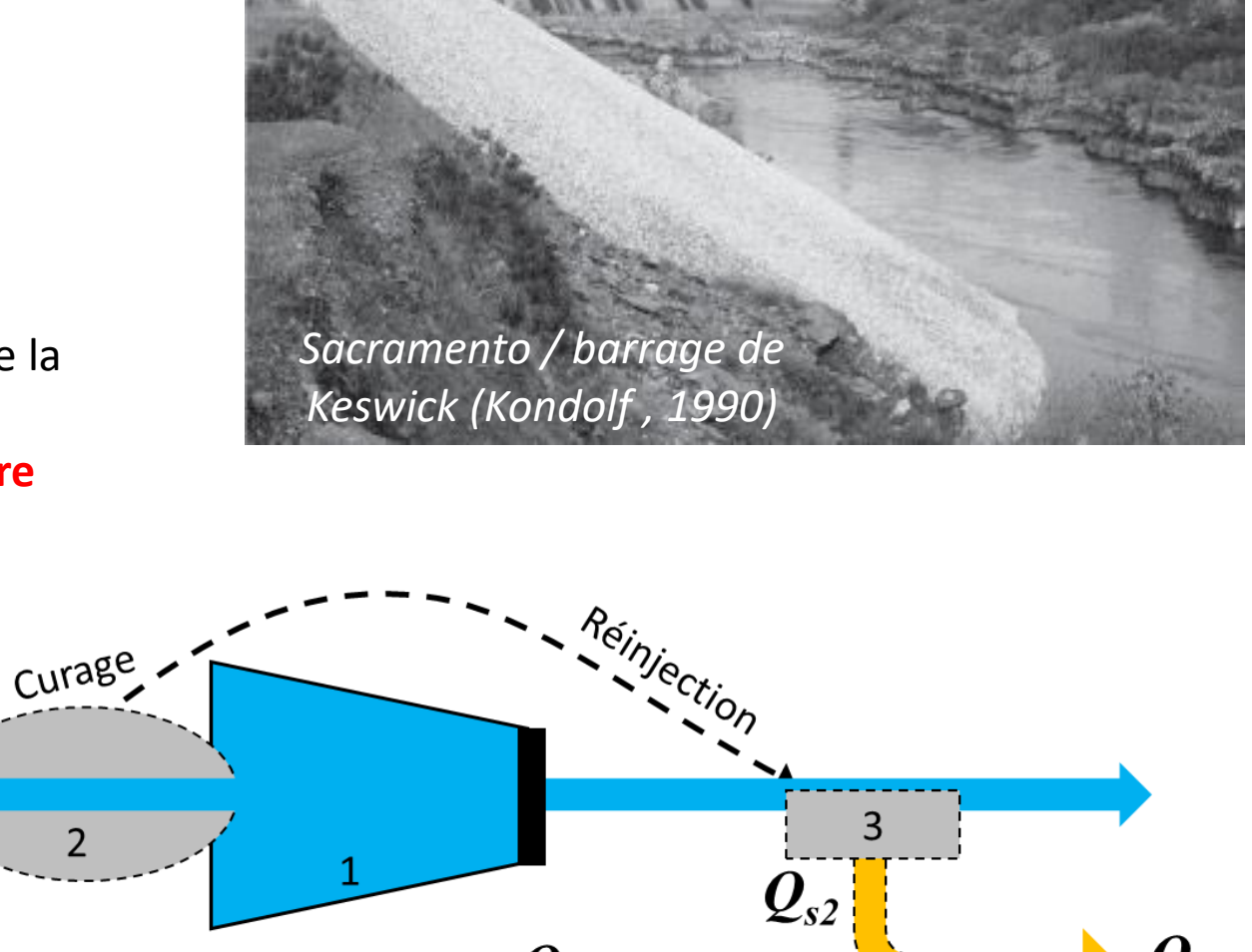
Processus

- Erosion des remblais pendant les crues = augmentation de la fourniture sédimentaire
- Diffusion des sédiments sous forme de vague sédimentaire
- Affinement granulométrique

Des questions pour les gestionnaires

- ✓ Extension de la vague
- ✓ Conséquence sur les habitats

Peut-on répondre à ces questions grâce à la modélisation numérique ?



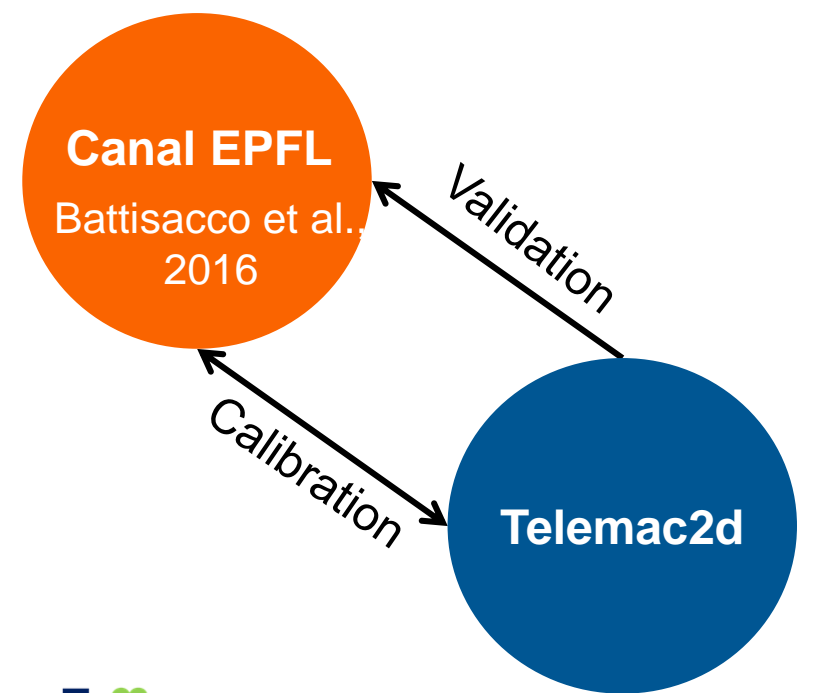


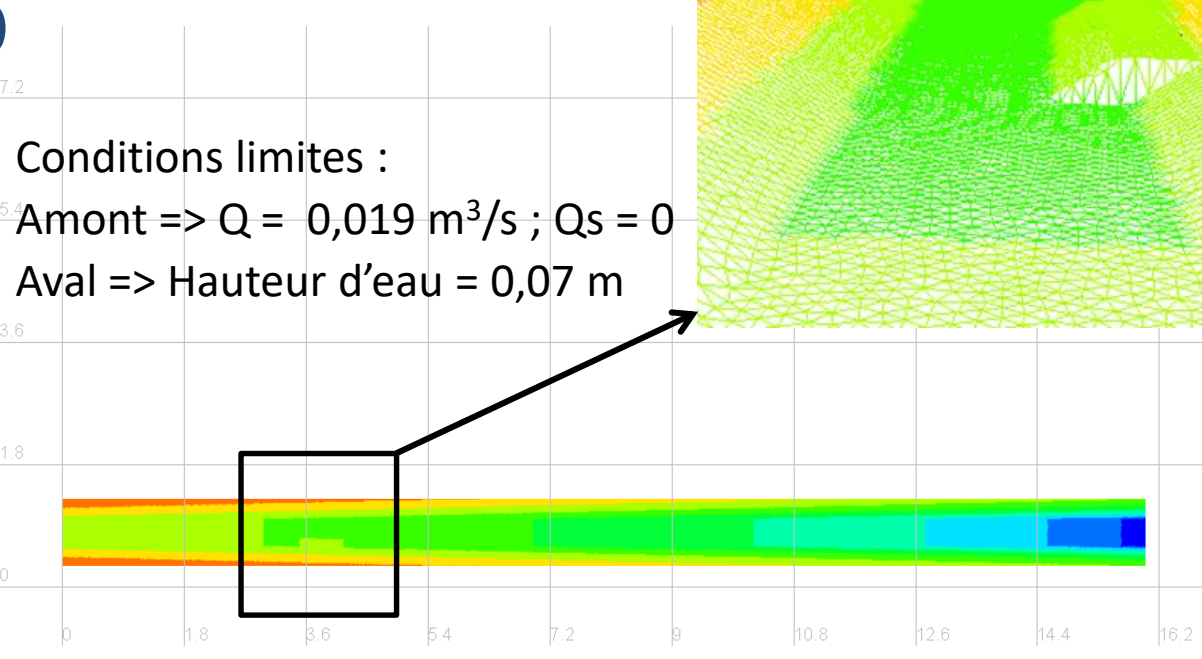


Modèle morphodynamique 2D

Principales caractéristiques :

- 16 m de long 1 m de large à pleins bords et 0,4 m de large au fond du canal
- pente 1,5 %; Berge 2H/3L
- maillage triangulaire non structuré : 0,02 m
- 42604 nœuds et 83383 mailles
- TS par charriage uniquement (MPM)





Spécificités :

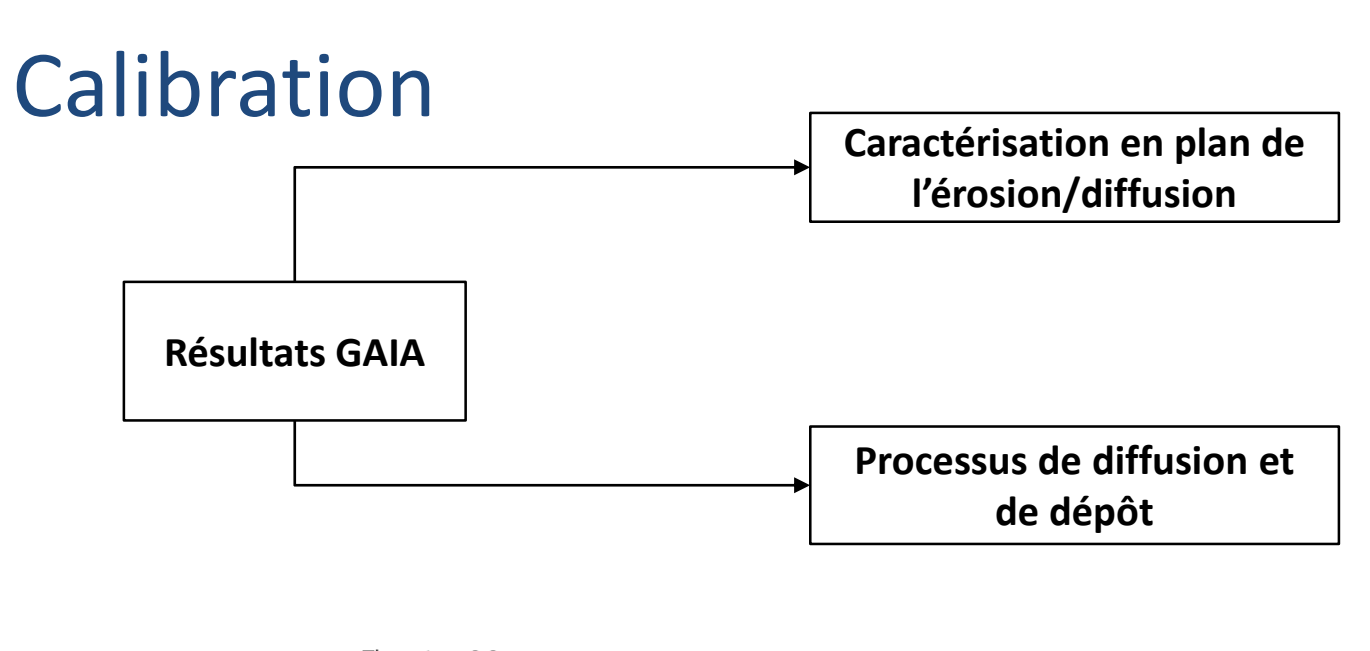
Coefficient de frottement (Manning) dynamique

$$n = \begin{cases} \frac{1}{26} d_{90}^{c}^{\frac{1}{6}} & \text{si } DD \le d_{90}^{c} + d_{90}^{r} \\ 0,035 & \text{dans les autres cas} \end{cases}$$

Erosion dans l'emprise du remblai





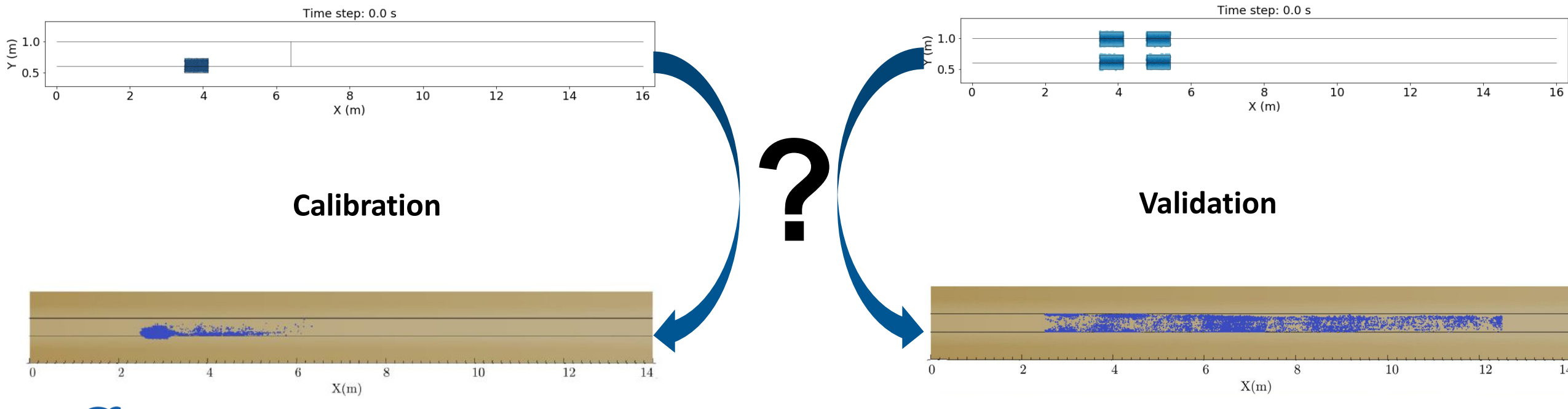


- Forme de la vague
- Direction de la vague

• TD = diffusion du front de la vague

4

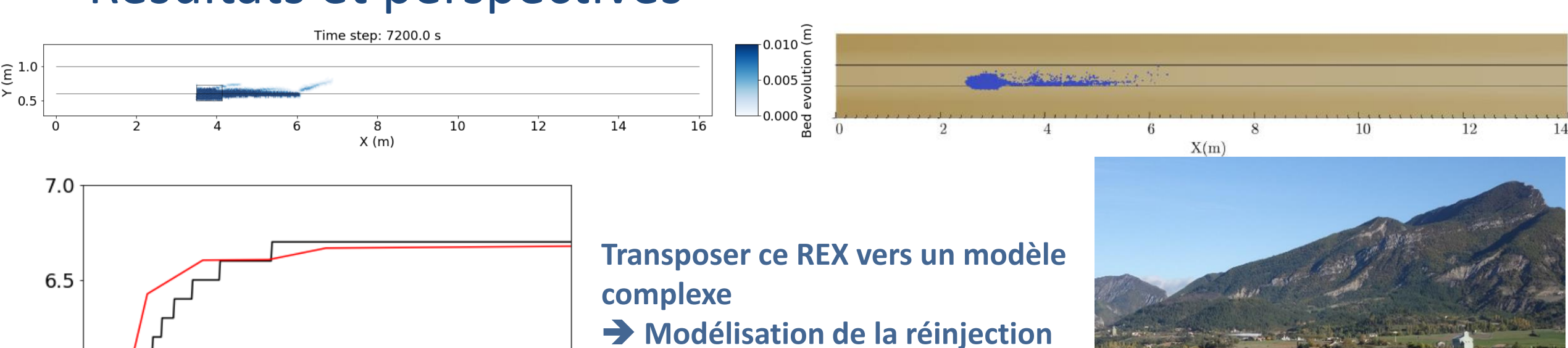
• OR = répartition des dépôts



« Transport sédimentaire : rivières et barrages réservoirs »

Etude des réinjections sédimentaires dans les rivières a graviers par modélisation numérique morphodynamique 2d | 03/2021

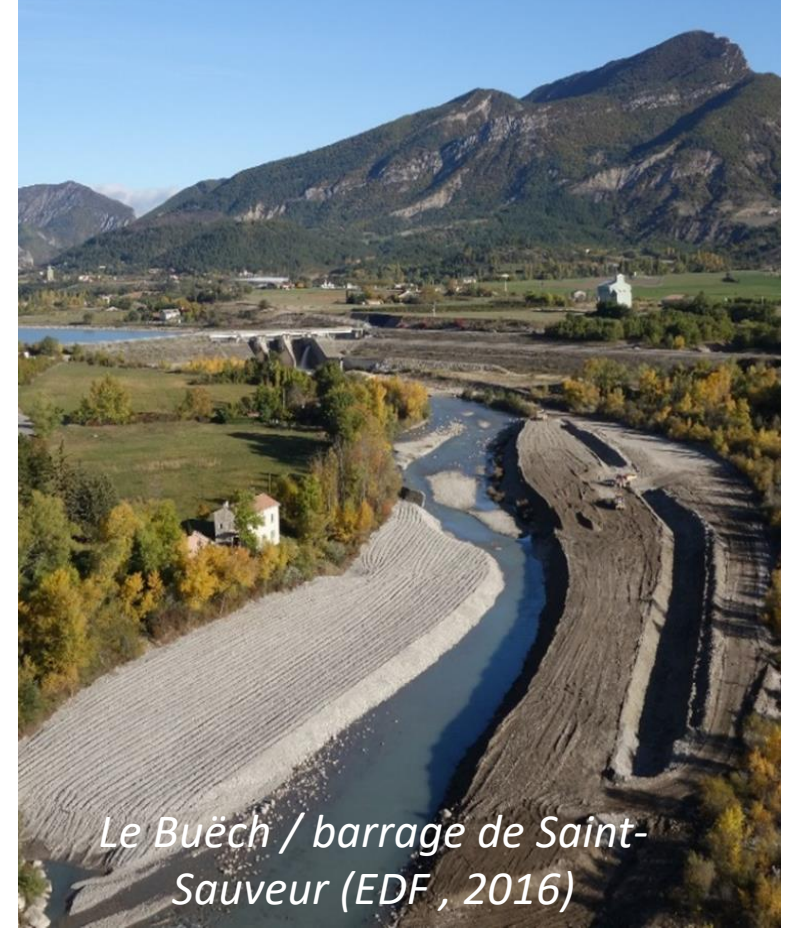
Résultats et perspectives



Etudier le rôle des macro formes dans la diffusion de la vague

du Buëch en aval de St-Sauveur

→ Expérience en flume





1000

6.0

5.5

5.0

4.5



2000

GAIA_res_gaia_epfl_67 EPFL (Battisacco et al.)

3000 4000

Time

5000

6000

7000